

# Sistemas de Comunicações Digitais

Curso de Graduação em Engenharia de Telecomunicações

Universidade Federal do Ceará

Semestre 2017.2

## Parte 3

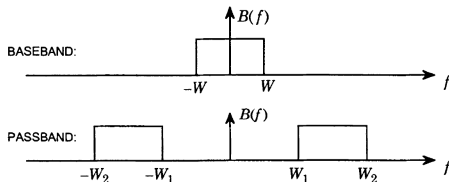
### Modulação por amplitude de pulso - PAM

# Conteúdo

- 1 PAM em banda base**
- 2 PAM em banda passante
- 3 Receptor de distância mínima
- 4 Detecção de sequência de distância mínima
- 5 Análise de Desempenho em canais AWGN

# PAM em banda base

- A escolha da modulação depende das características do meio.
- Os canais podem ser classificados como: banda base (*baseband*) ou banda passante (*bandpass*).

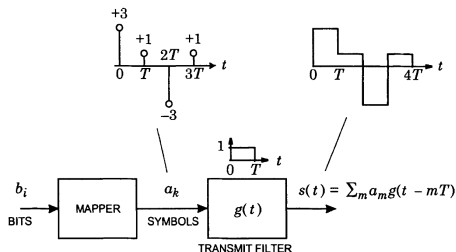


- Sinal PAM em banda base:

$$s(t) = \sum_{m=-\infty}^{\infty} a_k g(t - kT)$$

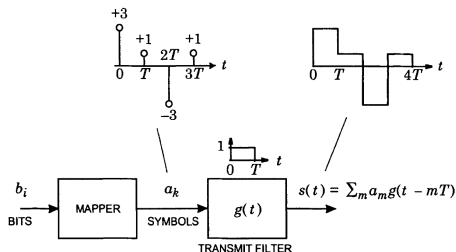
- Taxa de símbolo:  $1/T$
- Pulso de transmissão:  $g(t)$
- Símbolos:  $\{a_k\}$

# PAM em banda base



- O sinal PAM pode ser interpretado como uma sequência de pulsos superpostos com a amplitude do  $k$ -ésimo pulso determinada pelo  $k$ -ésimo símbolo.
- Sequência de bits de entrada é mapeada em uma sequência de símbolos  $\{a_k\}$  por um *mapeador*.
- Os símbolos são restritos a um alfabeto finito  $\mathcal{A}$ , de forma que  $a_k \in \mathcal{A}$  e  $|\mathcal{A}| = 2^b$ , para um inteiro  $b$ .

# PAM em banda base



- A taxa de símbolos  $1/T$  também é chamada de *baud rate*.
- O mapeamento pode ser precedido por uma etapa de codificação de canal, na qual é adicionada redundância à sequência de bits, de forma a reduzir os erros.
- Nesta disciplina vamos assumir que os símbolos que resultam do mapeamento são *iid* (independentes e identicamente distribuídos).

# Formatação de pulso

- Vamos considerar nessa seção o caso sem ruído, tendo como objetivo determinar a relação entre a largura de banda e a taxa de símbolos.
- Considere a amostragem de  $s(t)$  em múltiplos inteiros do tempo de símbolo:

$$\begin{aligned}
 s(kT) &= \sum_{m=-\infty}^{\infty} a_m g(kT - mT) = a_k * g(kT) \\
 &= \underbrace{a_k g(0)}_{\text{Termo desejado}} + \underbrace{\sum_{m \neq k} a_m g(kT - mT)}_{\text{Interferência Inter-simbólica (ISI)}}
 \end{aligned}$$

- Condição para que a ISI seja anulada:

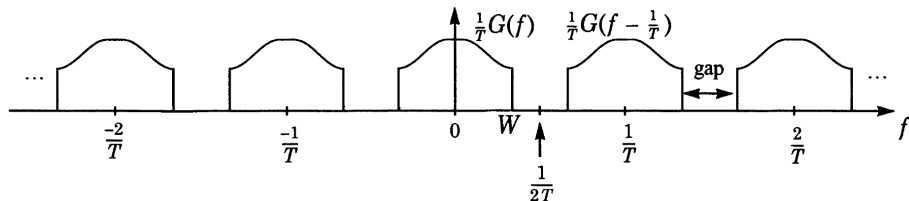
$$g(kT) = \delta_k$$

# Formatação de pulso

- Aplicando a transformada de Fourier obtemos:

$$g(kT) = \delta_k \quad \xrightarrow{\mathcal{F}} \quad \frac{1}{T} \sum_{m=-\infty}^{\infty} G\left(f - \frac{m}{T}\right) = 1$$

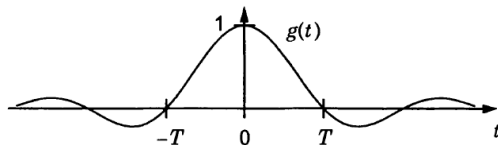
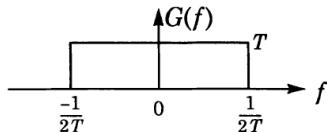
- Obtemos portanto o *critério de Nyquist*.
- Um pulso que satisfaz esse critério é chamado de *pulso de Nyquist*.
- Este critério implica que existe uma banda mínima a ser respeitada para se transmitir a uma certa taxa sem ISI.





# Formatação de pulso

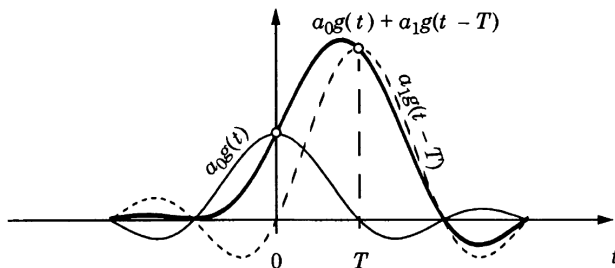
- Largura de banda mínima para evitar ISI:  $W \geq 1/(2T)$
- Máxima taxa de símbolos correspondente:  $1/T \leq 2W$
- Mas não é qualquer pulso que satisfaz o critério de Nyquist: o espectro resultante deve ser uma constante.
- Exemplo de pulso que satisfaz o critério:



$$G(f) = \begin{cases} T, & -1/(2T) \leq f \leq 1/(2T) \\ 0, & \text{c.c.} \end{cases} \xrightarrow{\mathcal{F}^{-1}} g(t) = \frac{\sin(\pi t/T)}{\pi t/T}$$

# Formatação de pulso

- Ilustração de uso do pulso de Nyquist.
- Considere símbolos sucessivos com valores  $a_0 = 1$  e  $a_1 = 2$ .
- Contribuição dos símbolos ao sinal:



# Formatação de pulso

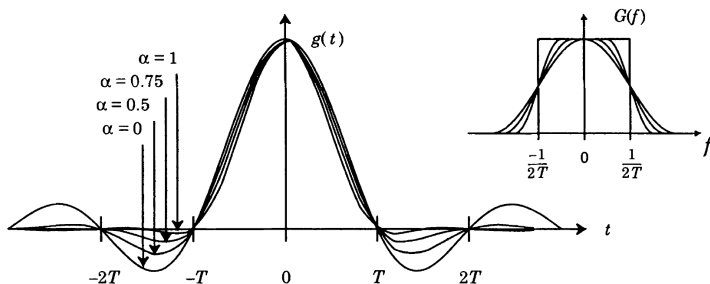
- O pulso ideal retangular (na frequência) possui a propriedade desejável de mínima banda, mas apresenta problemas de realização prática.
- Um pulso prático deve apresentar um fator de excesso de banda  $\alpha$ , de forma que:

$$W = \frac{1 + \alpha}{2T}$$

- Pulso ideal ocorre para  $\alpha = 0$ ;
- Valores práticos de excesso de banda: 10% a 100%.
- Custo-benefício entre aumento de banda e simplicidade de implementação.
- $\alpha$  também é chamado de fator de *roll-off*.
- Existem múltiplas soluções de pulsos que satisfazem o critério de Nyquist para  $\alpha > 0$ .

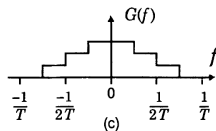
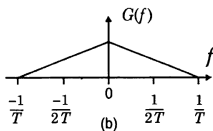
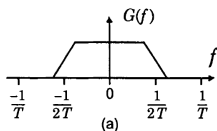
$$g(t) = \left( \frac{\sin(\pi t/T)}{\pi t/T} \right) \left( \frac{\cos(\alpha \pi t/T)}{1 - (2\alpha t/T)^2} \right)$$

$$G(f) = \begin{cases} T, & |f| \leq \frac{1-\alpha}{2T} \\ T \cos^2 \left[ \frac{\pi T}{2\alpha} \left( |f| - \frac{1-\alpha}{2T} \right) \right], & \frac{1-\alpha}{2T} < |f| \leq \frac{1+\alpha}{2T} \\ 0, & \frac{1+\alpha}{2T} < |f| \end{cases}$$



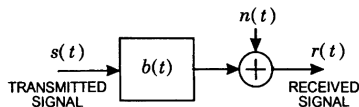
# Formatação de pulso

- Existe um número infinito de pulsos que satisfazem o critério de Nyquist.
- Seguem alguns exemplos adicionais:



# Impacto da filtragem sobre o PAM

- Consideremos agora o impacto do canal, modelado como um filtro linear invariante no tempo com resposta ao impulso  $b(t)$  e ruído aditivo  $n(t)$ .



- Aplicando o sinal PAM nesse modelo obtemos:

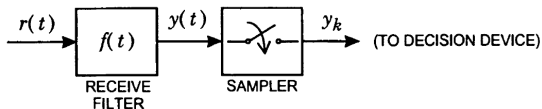
$$r(t) = \int_{-\infty}^{\infty} b(\tau) \sum_{m=-\infty}^{\infty} a_m g(t - mT - \tau) d\tau + n(t)$$

- Para  $h(t) = b(t) * g(t)$ , chamado de pulso recebido, obtemos

$$r(t) = \sum_{m=-\infty}^{\infty} a_m h(t - mT) + n(t)$$

# Impacto da filtragem sobre o PAM

- Se o sinal transmitido é PAM, o sinal recebido também é PAM, mas com um diferente formato de pulso e com a adição de ruído.
- Filtro de recepção:
  - Compensação da distorção do canal.
  - Diminuição do efeito do ruído aditivo.
  - Condicionamento do sinal recebido antes da amostragem.
  - Pode ser projetado para evitar ISI após amostragem.



# Impacto da filtragem sobre o PAM

- Saída do filtro de recepção antes da amostragem:

$$y(t) = \sum_{-\infty}^{\infty} a_m p(t - mT) + n'(t)$$

- Onde  $p(t)$  é o formato de pulso resultante, dado por:

$$p(t) = g(t) * b(t) * f(t) \quad \xrightarrow{\mathcal{F}} \quad P(f) = G(f)B(f)F(f)$$

- Para evitar ISI, o pulso resultante deve ser Nyquist, e não somente  $g(t)$ , portanto:

$$p(kt) = \delta_k \quad \xrightarrow{\mathcal{F}} \quad \sum_{m=-\infty}^{\infty} P\left(f - \frac{m}{T}\right) = T$$

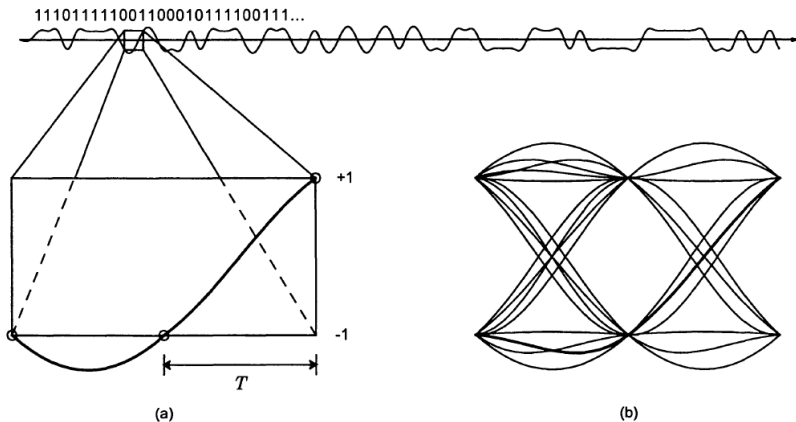


# ISI e Diagramas de olho

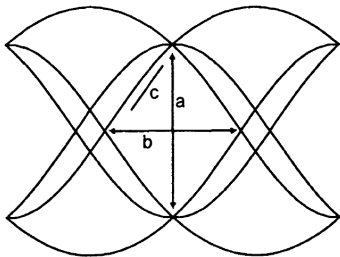
- Cancelamento perfeito da ISI é difícil de ser alcançado:
  - Imperfeições na estimativa de canal.
  - Limitações práticas de implementação do pulso de transmissão.
- Diagrama de olho:
  - Ilustra a degradação do sinal.
  - Pode ser gerado em osciloscópio.
  - Ferramenta de auxílio na etapa de projeto do sistema.
  - Consiste da superposição de várias pequenas partes de um sinal.
- A presença de ISI tende a fechar o olho verticalmente.
- Instante ideal de amostragem é o ponto de máxima abertura.
- Abertura horizontal é importante para reduzir o impacto de erros de temporização.

# ISI e Diagramas de olho

- PAM binário com 50% de banda excedente.



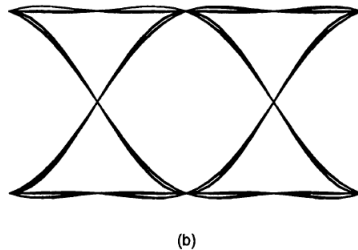
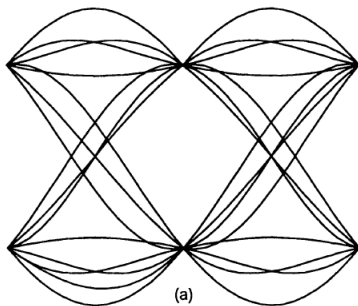
# ISI e Diagramas de olho



- a) Abertura vertical indica imunidade a ruído
- b) Abertura horizontal indica imunidade a erros de temporização.
- c) Inclinação da pálpebra interna indica a sensibilidade a *jitter* de temporização.

# ISI e Diagramas de olho

- Diagramas de olho para (a) 25% e (b) 100% de banda excedente.



# Taxa de bits e eficiência espectral

- Os símbolos são escolhidos, de forma independente e uniforme, do alfabeto  $\mathcal{A}$ , de tamanho  $|\mathcal{A}|$ .
- Cada símbolo carrega  $\log_2 |\mathcal{A}|$  bits de informação.
- Taxa de bits do PAM:

$$R_b = \frac{\log_2 |\mathcal{A}|}{T} \quad \text{bit/s}$$

- Formas de aumentar a taxa:
  - Aumentar a ordem da modulação (limitação de potência e impacto do ruído)
  - Aumentar a taxa de símbolos  $1/T$  (limitação de banda e impacto da ISI)
- Eficiência espectral:

$$\nu = \frac{\text{taxa de bits}}{\text{banda}} = \frac{R_b}{W} \quad \text{bit/s/Hz}$$

# Taxa de bits e eficiência espectral

- Para o PAM temos:  $W = (1 + \alpha)/(2T)$
- A eficiência espectral pode ser simplificada para:

$$\nu = \frac{R_b}{W} = \frac{\log_2 |\mathcal{A}|/T}{(1 + \alpha)/(2T)} = \frac{2 \log_2 |\mathcal{A}|}{1 + \alpha}$$

- Também podemos isolar o tamanho do alfabeto:

$$|\mathcal{A}| = 2^{(1+\alpha)\nu/2}$$

- Para o caso do filtro ideal com  $\alpha = 0$ , temos:

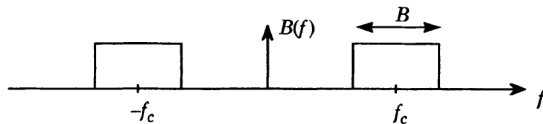
$$\nu_{\max} = 2 \log_2 |\mathcal{A}| \quad \text{e} \quad |\mathcal{A}| = 2^{\nu_{\max}/2}$$

# Conteúdo

- 1 PAM em banda base
- 2 PAM em banda passante**
- 3 Receptor de distância mínima
- 4 Detecção de sequência de distância mínima
- 5 Análise de Desempenho em canais AWGN

# Representação em banda passante do PAM

- Comunicações práticas normalmente ocorrem em banda passante.



- Representações em banda passante do PAM:
  - PAM *double-sideband* (PAM-DSB)
  - PAM *single-sideband* (PAM-SSB)
  - PAM *em banda passante*



# PAM-DSB

- PAM-DSB modula diretamente o sinal PAM aplicando oscilador local:

$$s(t) = \sqrt{2} \cos(2\pi f_c t) \sum_k a_k g(t - kT)$$

- Sinal PAM de banda  $B/2$  passa a ocupar  $B$  em banda passante.
- Aplicando o critério de Nyquist:

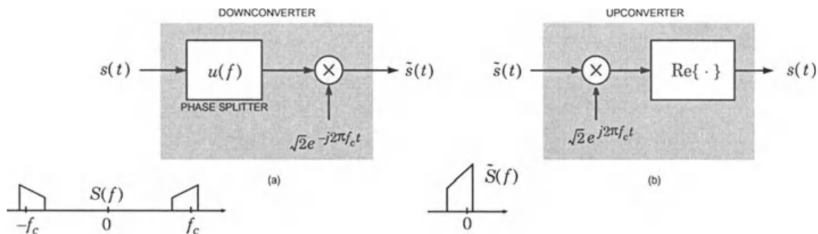
$$\frac{1}{2T} \leq (B/2) \implies \frac{1}{T} \leq B$$

- Desta forma a eficiência espectral cai para a metade da eficiência do PAM em banda base:

$$\nu_{\max}^{\text{DSB}} = \frac{R_b}{B} = \frac{\log_2 |\mathcal{A}|/T}{1/T} = \log_2 |\mathcal{A}|$$

# PAM-SSB

- PAM-SSB evita a redundância das faixas laterais, transmitindo somente uma das faixas.
- Pode ser implementado usando um divisor de fase:



- Mesma eficiência do PAM em banda base.
- Dificuldade prática de implementação.

# PAM em banda passante

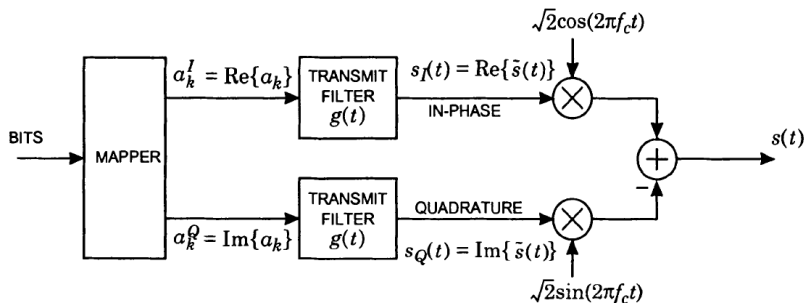
- Modificação do PAM-DSB para aumentar sua eficiência.
- Definição de componentes em fase  $\{a_k^I\}$  e quadratura  $\{a_k^Q\}$ .

$$s(t) = \sqrt{2} \cos(2\pi f_c t) \sum_k a_k^I g(t - kT) - \sqrt{2} \sin(2\pi f_c t) \sum_k a_k^Q g(t - kT)$$

- O componente em quadratura representa um recurso extra.
- Mesma banda do PAM-DSB, mas com o dobro da eficiência espectral, pois transporta o dobro de informação.
- Classificação com relação à escolha das sequências  $\{a_k^I\}$  e  $\{a_k^Q\}$ :
  - Escolha independente: QAM (modulação em amplitude e quadratura)
  - Escolha conjunta: PAM *em banda passante*.

# PAM em banda passante

- Diagrama de um transmissor PAM em banda passante:



# PAM em banda passante

- Representação em termos da envoltória complexa:

$$s(t) = \sqrt{2}\text{Re}\{\tilde{s}(t)e^{j2\pi f_c t}\}$$

- Onde  $\tilde{s}(t)$  corresponde ao equivalente passa-baixa:

$$\tilde{s}(t) = \sum_k a_k g(t - kT) , \text{ com } a_k = a_k^I + ja_k^Q$$

- Sinal semelhante ao PAM em banda base, mas com símbolos complexos e pulso real.

- 
- The diagram illustrates the transmission of a complex baseband signal. It starts with an input of **BITS** entering a **MAPPER** block. The output of the mapper is a stream of **COMPLEX SYMBOLS**, denoted as  $a_k$ . These symbols pass through a **TRANSMIT FILTER** block, which is labeled with  $g(t)$ . The output of the filter is a **COMPLEX BASEBAND PAM** signal, denoted as  $\tilde{s}(t)$ . This signal then enters a shaded gray region representing the **UPCONVERTER**. Inside this region, the signal  $\tilde{s}(t)$  is multiplied (indicated by a circle with an 'X') by a carrier wave  $\sqrt{2}e^{j2\pi f_c t}$ . The output of the multiplier then passes through a **Re{ · }** block, which extracts the real part of the signal. The final output of the system is the transmitted signal  $s(t)$ .

- ◀ ◻ ▶ ◀ ◻ ▶ ◀ ≡ ▶ ◀ ≡ ▶ ≡ ↺ 🔍 ↻

# PAM em banda passante

- Representações em: a) fase e quadratura; b) envoltória complexa.
- Terceira representação baseada em coordenadas polares:

$$\begin{aligned}
 a_m &= c_m e^{j\theta_m} \\
 s(t) &= \sqrt{2} \operatorname{Re} \left\{ \sum_{m=-\infty}^{\infty} c_m e^{j(2\pi f_c t + \theta_m)} g(t - mT) \right\} \\
 &= \sqrt{2} \sum_{m=-\infty}^{\infty} c_m \cos(2\pi f_c t + \theta_m) g(t - mT)
 \end{aligned}$$

- Amplitude e fase da portadora são determinadas por  $a_m$ .
- Também chamado de AM/PM.
- Indica que o PSK (chaveamento por deslocamento de fase) é um caso particular do PAM em banda passante.

-



# Constelações

- Cálculo da energia média de um pulso PAM em banda passante.
- Considerações:
  - Símbolos equiprováveis.
  - Pulso de transmissão  $g(t)$  com energia  $\mathcal{E}_g$ .
  - Pulso transmitido de forma **isolada**, por exemplo considerando pulso ideal de Nyquist com zero ISI. Neste caso pode-se omitir o subíndice  $k$  relativo ao  $k$ -ésimo tempo de símbolo, ou seja,  $\tilde{s}(t) = ag(t)$ .
- Sinal e seu equivalente passa-baixa:  $s(t) = \sqrt{2}\text{Re}\{\tilde{s}(t)e^{j2\pi f_c t}\}$
- Cálculo da energia média  $\mathcal{E}$ :

$$\begin{aligned}\mathcal{E} &= \text{E} \left[ \int_{-\infty}^{\infty} s^2(t) dt \right] = \text{E} \left[ \int_{-\infty}^{\infty} |\tilde{s}(t)|^2 dt \right] = \text{E}[|a|^2] \int_{-\infty}^{\infty} g^2(t) dt \\ &= \left( \frac{1}{|\mathcal{A}|} \sum_{a \in \mathcal{A}} |a|^2 \right) \int_{-\infty}^{\infty} g^2(t) dt = \mathcal{E}_a \mathcal{E}_g\end{aligned}$$

# Constelações

- Considerando a envoltória complexa  $\tilde{s}(t)$  do sinal PAM, podemos calcular sua densidade espectral de potência (DEP)  $S_{\tilde{s}}(f)$ :

$$S_{\tilde{s}}(f) = \frac{1}{T} |G(f)|^2 S_a(f)$$

- Onde  $G(f)$  é a transformada de Fourier do pulso e  $S_a(f)$  é a DEP da sequência de informação.
- Para o caso em que a sequência é branca, a sua DEP é constante, dada por  $S_a(f) = \mathcal{E}_a$ .
- A potência  $P$  pode ser calculada ao integrar a DEP na frequência, obtendo portanto:

$$P = \int_{-\infty}^{\infty} \frac{1}{T} |G(f)|^2 S_a(f) df = \frac{\mathcal{E}_a}{T} \int_{-\infty}^{\infty} |G(f)|^2 df = \frac{\mathcal{E}_a \mathcal{E}_g}{T} = \frac{\mathcal{E}}{T}$$

# Projeto da constelação

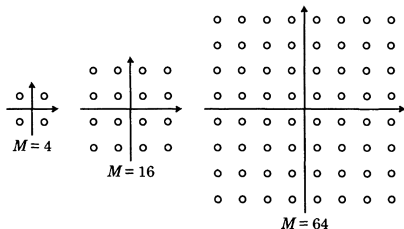
- A distância mínima  $d_{\min}$  é um parâmetro importante.
- Quanto maior a distância mínima maior a imunidade ao ruído.
- Relação custo-benefício entre potência de transmissão, tamanho da constelação e imunidade ao ruído.
- Projeto da constelação:
  - Objetivo: maximizar a distância entre símbolos evitando exceder a restrição de potência de transmissão.
  - Constelações ótimas podem ser difíceis de derivar e de alto custo.
  - Seu **desempenho** é invariante à translação.
  - Qual translação resulta em mínima potência?

$$E[|a - m|^2] = \sum_{i=1}^M p_a(a_i) |a_i - m|^2$$

- Melhor escolha para translação:  $m = E[a]$ .
- Constelação com média zero gasta menos energia que outras translações.

# Projeto da constelação

- Exemplos de constelações QAM quadradas ( $M = L^2$ ):

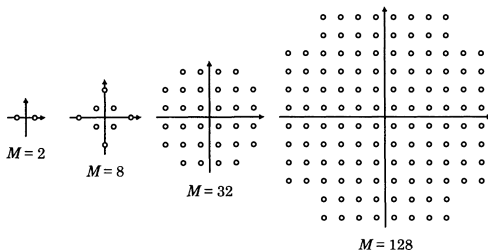


- Componentes  $a_I$  e  $a_Q$  são escolhidas de um alfabeto PAM  $L$ -ário  $\{\pm c, \pm 3c, \dots, \pm(L-1)c\}$ , com  $m$ -ésimo elemento  $c(-L+1+2m)$ .
- Energia média de uma constelação  $M$ -QAM:

$$\begin{aligned}\mathcal{E}_a &= \text{E}[|a|^2] = \text{E}[a_I^2] + \text{E}[a_Q^2] = 2\text{E}[a_I^2] \\ &= \frac{2}{L} \sum_{m=0}^{L-1} c^2(-L+1+2m)^2 = \frac{2}{3}c^2(L^2-1) = \frac{2}{3}c^2(M-1)\end{aligned}$$

# Projeto da constelação

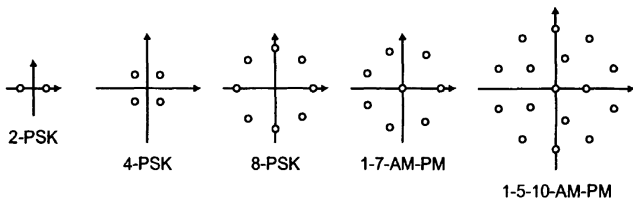
- Exemplos de constelações QAM retangulares ( $M \neq L^2$ ):



- Mapeamento ligeiramente mais complicado.
- Aplicações em combinação com códigos em treliça.

# Projeto da constelação

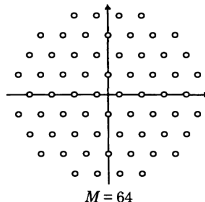
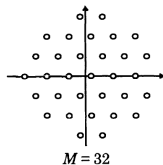
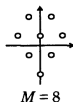
- Exemplos de constelações PSK e AM-PM:



- Elementos do alfabeto PSK:  $a = \sqrt{\mathcal{E}} e^{j2\pi m/M}$
- Envoltória constante e pontos com mesma energia.
- Implementação de receptor de baixo custo.

# Projeto da constelação

- Exemplos de constelações hexagonais:



- Símbolos localizados nos vértices de triângulos equiláteros.
- Regiões de decisão hexagonais.
- Desempenho ligeiramente superior a constelações retangulares, mas com complexidade elevada.

# Conteúdo

- 1 PAM em banda base
- 2 PAM em banda passante
- 3 Receptor de distância mínima**
- 4 Detecção de sequência de distância mínima
- 5 Análise de Desempenho em canais AWGN



# Critério de distância mínima

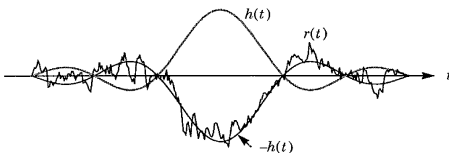
- Mudamos agora o foco para o projeto do receptor.
- Vamos considerar inicialmente a ausência de ISI, ou seja, assumindo que somente um pulso é transmitido.
- Projeto baseado em distância mínima e estrutura do filtro casado.
- Expressão do sinal recebido considerando a transmissão de um único símbolo  $a \in \mathcal{A}$ :

$$r(t) = ah(t) + n(t)$$

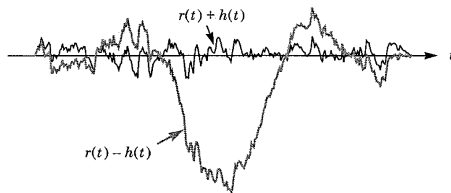
- Onde  $h(t)$  é o pulso recebido e  $n(t)$  é o ruído.
- Modelo aplicável ao PAM em banda base ou em banda passante (foco no último caso, que é mais geral).
- **Problema:** determinar a partir de  $r(t)$  qual símbolo foi transmitido.

# Critério de distância mínima

- Exemplo considerando sinalização binária antipodal,  $\mathcal{A} = \{-1, +1\}$ .
- Sinal recebido sem ruído:  $h(t)$  ou  $-h(t)$



**Figura:** Sinais antipodais e sinal recebido, dado que  $-1$  foi transmitido.



**Figura:** Diferença entre o sinal recebido e cada um dos sinais da constelação.

# Critério de distância mínima

- Quanto menor a diferença entre o sinal recebido e uma dada forma de onda, mais provável que esta tenha sido transmitida.
- Essa métrica pode ser expressa como a energia do sinal da diferença:

$$\int_{-\infty}^{\infty} |r(t) - h(t)|^2 dt \quad \text{e} \quad \int_{-\infty}^{\infty} |r(t) + h(t)|^2 dt$$

- O resultado é comparado e decide por  $\hat{a} = 1$  se a primeira energia for menor, ou por  $\hat{a} = -1$  se a segunda for menor.
- De forma geral o **receptor de mínima distância** resolve o problema:

$$\hat{a} = \arg \min_{a \in \mathcal{A}} \int_{-\infty}^{\infty} |r(t) - ah(t)|^2 dt$$

# Critério de distância mínima

- Análise da função custo  $J$ :

$$\begin{aligned}
 J &= \int_{-\infty}^{\infty} |r(t) - ah(t)|^2 dt \\
 &= \underbrace{\int_{-\infty}^{\infty} |r(t)|^2 dt}_{\mathcal{E}_r} - 2\text{Re}\left\{ a^* \underbrace{\int_{-\infty}^{\infty} r(t)h^*(t)dt}_{y \text{ (correlação)}} \right\} + |a|^2 \underbrace{\int_{-\infty}^{\infty} |h(t)|^2 dt}_{\mathcal{E}_h}
 \end{aligned}$$

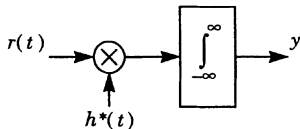
- Minimizar a distância equivale portanto a maximizar a correlação:

$$\hat{a} = \arg \max_{a \in \mathcal{A}} 2\text{Re} \left\{ a^* \int_{-\infty}^{\infty} r(t)h^*(t)dt \right\} - |a|^2 \mathcal{E}_h$$

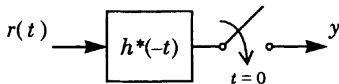
- Implementação é simplificada, pois basta calcular uma vez a integral.

# Critério de distância mínima

- Possíveis implementações da integral de correlação:



**Figura:** Correlator.



**Figura:** Filtro casado (MF).

- O MF é preferível ao correlator, pois permite compensar erros de sincronismo ao ajustar o instante de amostragem.

# Critério de distância mínima

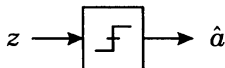
- A função custo também pode ser reescrita como:

$$J = \mathcal{E}_h \left( \frac{\mathcal{E}_r}{\mathcal{E}_h} - 2\text{Re} \left\{ a^* \frac{y}{\mathcal{E}_h} \right\} + |a|^2 \right) = \mathcal{E}_h \left| \frac{y}{\mathcal{E}_h} - a \right|^2 - \frac{|y|^2}{\mathcal{E}_h} + \mathcal{E}_r$$

- O que leva ao problema equivalente de distância mínima:

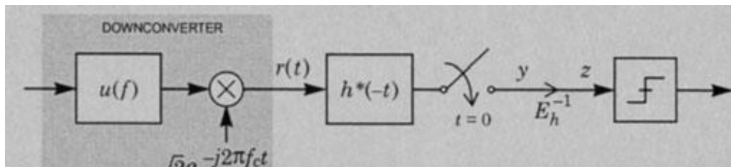
$$\hat{a} = \arg \min_{a \in \mathcal{A}} \left| \frac{y}{\mathcal{E}_h} - a \right|^2$$

- Correlação normalizada  $z = y/\mathcal{E}_h$
- Decisão: quantização de  $z$  para o símbolo mais próximo do alfabeto, também chamado de  *slicer*.



# Critério de distância mínima

- Resumo do esquema de recepção do PAM em banda passante:



- Elementos: translação de frequência, filtro casado, amostragem, quantização (*slicer*).
- Para o PAM em banda base não é necessária a translação de frequência.

# Propriedades do filtro casado

- O filtro casado representa uma forma de implementar o receptor de distância mínima.
- Também pode ser demonstrado que o MF maximiza a SNR de recepção.
- Considere um filtro de recepção com resposta ao impulso  $f(t)$ . Segue a saída do filtro e sua posterior amostragem.

$$y(t) = \int_{-\infty}^{\infty} r(\tau) f(t - \tau) d\tau \xrightarrow{\text{amost. em } t=0} y(0) = \int_{-\infty}^{\infty} r(\tau) f(-\tau) d\tau$$

- Substituindo  $r(t)$  obtemos:

$$y = a \underbrace{\int_{-\infty}^{\infty} h(t) f(-t) dt}_S + \underbrace{\int_{-\infty}^{\infty} n(t) f(-t) dt}_N$$



## Propriedades do filtro casado

- Definição da relação sinal-ruído (SNR) no receptor:

$$SNR = \frac{E[|S|^2]}{E[|N|^2]} = \frac{E[|a|^2] \left| \int h(t) f(-t) dt \right|^2}{N_0 \int |f(-t)|^2 dt} = \frac{\mathcal{E}_a \left| \int h(t) f(-t) dt \right|^2}{N_0 \mathcal{E}_f}$$

- Considere a desigualdade de Schwarz:

$$\left| \int_{-\infty}^{\infty} u(t) v^*(t) dt \right|^2 \leq \int_{-\infty}^{\infty} |u(t)|^2 dt \int_{-\infty}^{\infty} |v(t)|^2 dt$$

- O valor máximo é obtido para  $v(t) = K u(t)$ , onde  $K$  é uma constante.
- Aplicando a desigualdade para o numerador da SNR, obtemos o valor máximo para  $f(t) = h^*(-t)$ , resultando em

$$SNR_{\max} = \frac{\mathcal{E}_a \int |h(t)|^2 dt \int |f(t)|^2 dt}{N_0 \mathcal{E}_f} = \frac{\mathcal{E}_a \mathcal{E}_h}{N_0}$$

# Filtro casado e ISI

- A otimização anterior desconsiderou o efeito da ISI.
- A transmissão de uma sequência de pulsos geralmente introduz ISI.
- Exceção para o caso em que o formato do pulso resultante obedece o critério de Nyquist.
- A saída do filtro casado  $h^*(-t)$  possui resposta em frequência  $|H(f)|^2$ .
- O critério de Nyquist pode portanto ser expresso como:

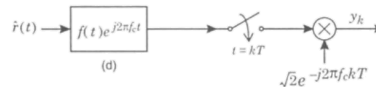
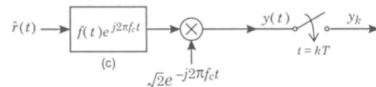
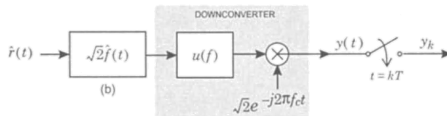
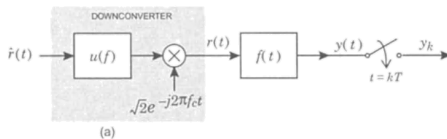
$$S_h(f) = \frac{1}{T} \sum_{m=-\infty}^{\infty} \left| H \left( f - \frac{m}{T} \right) \right|^2 = 1$$

- O termo  $S_h(f)$  é chamado de espectro dobrado (*folded spectrum*) do pulso recebido.
- Para cancelar a ISI pode ser aplicado um filtro de recepção raiz do cosseno levantado:

$$H(f) = F(f) = P(f)^{1/2}$$

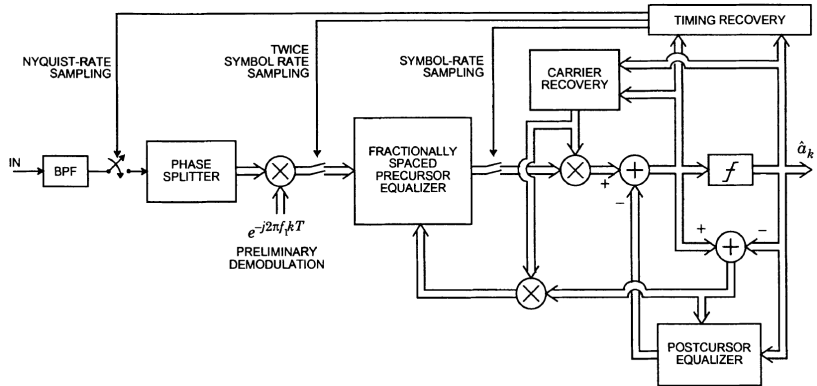
# Receptores PAM em banda passante

- Formas alternativas de implementação do PAM em banda passante:



# Receptores PAM em banda passante

- Receptores PAM mais elaborados:



# Conteúdo

- 1 PAM em banda base
- 2 PAM em banda passante
- 3 Receptor de distância mínima
- 4 Detecção de sequência de distância mínima**
- 5 Análise de Desempenho em canais AWGN

# Detecção de sequência de distância mínima

- Extensão do conceito de distância mínima para o caso ISI.
- Sequência de  $L$  símbolos:  $\mathcal{S} = \{a_0, a_1, \dots, a_{L-1}\}$ , com  $a_i \in \mathcal{A}$  e  $M = |\mathcal{A}|$ .
- Expressão do sinal recebido:

$$r(t) = \sum_{k=0}^{L-1} a_k h(t - kT) + n(t)$$

- Projeto do detector de sequência de distância mínima:

$$\hat{\mathcal{S}}_k = \arg \min_{\mathcal{S} \in \mathcal{A}^L} \int_{-\infty}^{\infty} \left| r(t) - \sum_{k=0}^{L-1} a_k h(t - kT) \right|^2 dt$$

- Dentre as  $M^L$  possíveis sequências, o receptor escolhe aquela que mais se aproxima do sinal observado  $r(t)$ .

# Detecção de sequência de distância mínima

- A decisão é feita sobre toda a sequência, e não símbolo a símbolo.
- Decisor deve esperar a chegada de todos os símbolos da sequência para tomar a decisão.
- **Atraso** na decodificação é proporcional ao tamanho  $L$  da sequência.
- Conceito simples, mas **complexidade exponencial** em  $L$ .
- Como tornar a implementação prática?

# Detecção de sequência de distância mínima

- Reescrevendo a função custo:

$$\begin{aligned}
 J &= \int_{-\infty}^{\infty} \left| r(t) - \sum_{k=0}^{L-1} a_k h(t - kT) \right|^2 dt \\
 &= \mathcal{E}_r - 2\text{Re} \left\{ \sum_{k=0}^{L-1} a_k^* \underbrace{\int_{-\infty}^{\infty} r(t) h^*(t - kT) dt}_{y(k)} \right\} + \sum_{k=0}^{L-1} \sum_{j=0}^{L-1} a_k a_j^* \underbrace{\int_{-\infty}^{\infty} h(t - kT) h^*(t - jT) dt}_{\rho_h(j-k)} \\
 &= \mathcal{E}_r - 2\text{Re} \left\{ \sum_{k=0}^{L-1} a_k^* y(k) \right\} + \sum_{k=0}^{L-1} \sum_{j=0}^{L-1} a_k a_j^* \rho_h(j - k)
 \end{aligned}$$

- Problema equivalente a maximizar a correlação:

$$\hat{S}_k = \arg \max_{S \in \mathcal{A}^L} 2\text{Re} \left\{ \sum_{k=0}^{L-1} a_k^* y(k) \right\} - \sum_{k=0}^{L-1} \sum_{j=0}^{L-1} a_k a_j^* \rho_h(j - k)$$



# Detecção de sequência de distância mínima

- Substituindo a expressão do sinal recebido

$$r(t) = \sum_{k=0}^{L-1} a_k h(t - kT) + n(t)$$

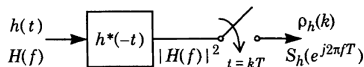
na expressão do sinal  $y(k)$  (saída amostrada do filtro casado), temos:

$$\begin{aligned} y(k) &= \int_{-\infty}^{\infty} r(t) h^*(t - kT) dt \\ &= \int_{-\infty}^{\infty} \sum_{j=0}^{L-1} a_j h(t - jT) h^*(t - kT) dt + \underbrace{\int_{-\infty}^{\infty} n(t) h^*(t - kT) dt}_{n'(k)} \\ &= \sum_{j=0}^{L-1} a_j \underbrace{\left[ \int_{-\infty}^{\infty} h(t - jT) h^*(t - kT) dt \right]}_{\rho_h(k-j)} + n'(k) = \sum_{j=0}^{L-1} a_j \rho_h(k - j) + n'(k) \end{aligned}$$

- Sendo assim, a saída do filtro casado corresponde à convolução entre os símbolos transmitidos e as amostras da autocorrelação temporal do pulso recebido.

# Detecção de sequência de distância mínima

- Autocorrelação amostrada do pulso recebido:  $\rho_h(k) = \langle h(t), h(t - kT) \rangle$
- Propriedades de  $\rho_h(k)$ :
  - Valor em  $k = 0$  dado por  $\rho_h(0) = \mathcal{E}_h$
  - Simetria Hermitiana:  $\rho_h(-k) = \rho_h^*(k)$
  - Valor máximo em  $\rho_h(0)$ , ou seja,  $|\rho_h(k)| \leq \rho_h(0)$ ,  $\forall k$
  - Autocorrelação amostrada pode ser vista como a saída de um filtro casado amostrado quando o pulso recebido é a entrada:

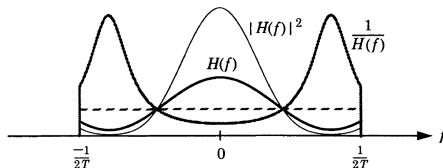


- Transformada discreta de Fourier da auto-correlação amostrada:

$$S_h(e^{j2\pi f T}) = \frac{1}{T} \sum_{m=-\infty}^{\infty} |H(f - m/T)|^2$$

# Detecção de sequência de distância mínima

- Na presença de ISI o filtro casado acentua as distorções de canal.
- Impacto do filtro casado e de equalizador sobre um pulso de recepção que não satisfaz o critério de Nyquist:

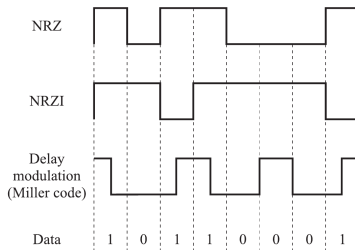


- Critério da distância mínima maximiza a SNR, mas não evita a ISI, uma vez que a saída do filtro casado (que satisfaz o critério de distância mínima) gera o sinal  $y(k) = \sum_{j=0}^{L-1} a_j \rho_h(k-j) + n'(k)$ , que contém a ISI.

# Estudo de caso: sinal NRZI

- Sinal com memória NRZI: *non-return-to-zero, inverted*
- Codificação diferencial, transições ocorrem quando 1 é transmitido.
- Sequência codificada de saída  $\{b_k\}$ , sequência de entrada  $\{a_k\}$ .
- Operação de codificação baseada em adição binária módulo 2.

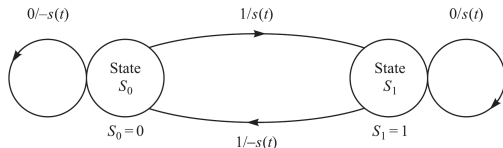
$$b_k = a_k \oplus b_{k-1}$$



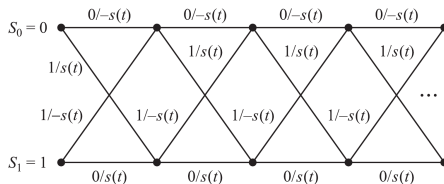
# Estudo de caso: sinal NRZI

- Modelagem como cadeia de Markov de dois estados.
- De forma geral, para o caso binário:  $P[a_k = 1] = 1 - P[a_k = 0] = p$ .
- Matriz de transição de estados e diagrama correspondente:

$$\mathbf{P} = \begin{bmatrix} 1-p & p \\ p & 1-p \end{bmatrix}$$

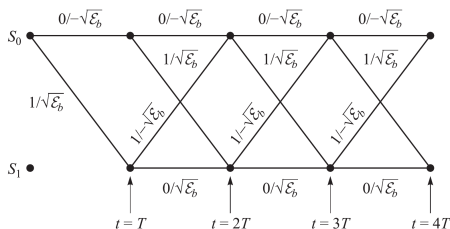


- Diagrama de treliça (evolução temporal):

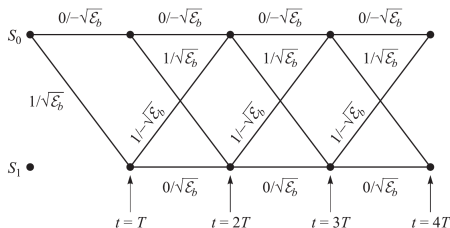


# Algoritmo de Viterbi

- Considere um sinal PAM binário NRZI, com  $s_1 = -s_2 = \sqrt{\mathcal{E}_b}$ .
- Número total de possíveis sequências  $2^L$ .
- Algoritmo de Viterbi reduz a complexidade eliminando sequências de forma iterativa: algoritmo de busca em treliça.
- Diagrama em treliça supondo estado inicial  $S_0$ .



# Algoritmo de Viterbi



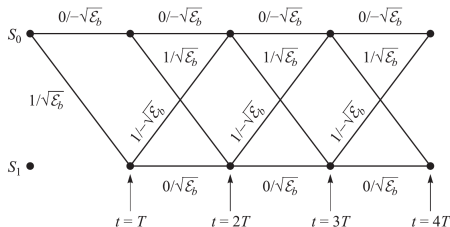
- Memória de 1 bit, treliça atinge estado permanente após 2 transições.
- Em  $t = 2T$  há dois caminhos entrando em cada nó.
- Métricas de decisão para o nó  $S_0$  baseadas em distância Euclidiana:

$$D_0(0,0) = (r_1 + \sqrt{\mathcal{E}_b})^2 + (r_2 + \sqrt{\mathcal{E}_b})^2$$

$$D_0(1,1) = (r_1 - \sqrt{\mathcal{E}_b})^2 + (r_2 + \sqrt{\mathcal{E}_b})^2$$

- Caminho de menor métrica é escolhido e o outro é descartado.

# Algoritmo de Viterbi



- Mesmo procedimento para o nó  $S_1$  ainda em  $t = 2T$

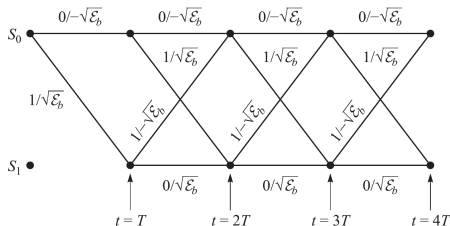
$$D_1(0, 1) = (r_1 + \sqrt{\mathcal{E}_b})^2 + (r_2 - \sqrt{\mathcal{E}_b})^2$$

$$D_1(1, 0) = (r_1 - \sqrt{\mathcal{E}_b})^2 + (r_2 - \sqrt{\mathcal{E}_b})^2$$

- Em  $t = 2T$  ficamos portanto com um caminho sobrevivente chegando em cada nó.



# Algoritmo de Viterbi



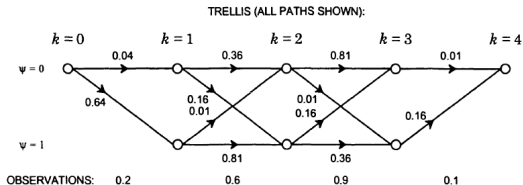
- Supondo que os caminhos sobreviventes em  $t = 2T$  sejam  $(0, 0)$  em  $S_0$  e  $(0, 1)$  em  $S_1$ .
- As métricas em  $t = 3T$  são calculadas como:

$$D_0(0, 0, 0) = D_0(0, 0) + (r_3 + \sqrt{\mathcal{E}_b})^2 \quad D_1(0, 0, 1) = D_0(0, 0) + (r_3 - \sqrt{\mathcal{E}_b})^2$$

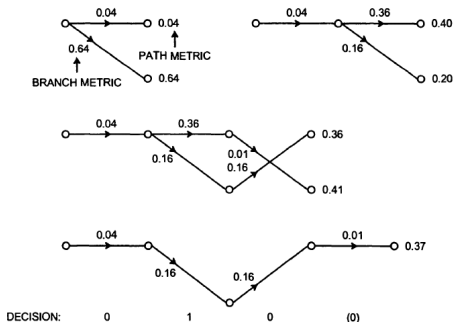
$$D_0(0, 1, 1) = D_1(0, 1) + (r_3 + \sqrt{\mathcal{E}_b})^2 \quad D_1(0, 1, 0) = D_1(0, 1) + (r_3 - \sqrt{\mathcal{E}_b})^2$$

- Novamente é escolhido o caminho de menor métrica em cada nó.

# Algoritmo de Viterbi



VITERBI ALGORITHM (ONLY SURVIVORS ARE SHOWN):

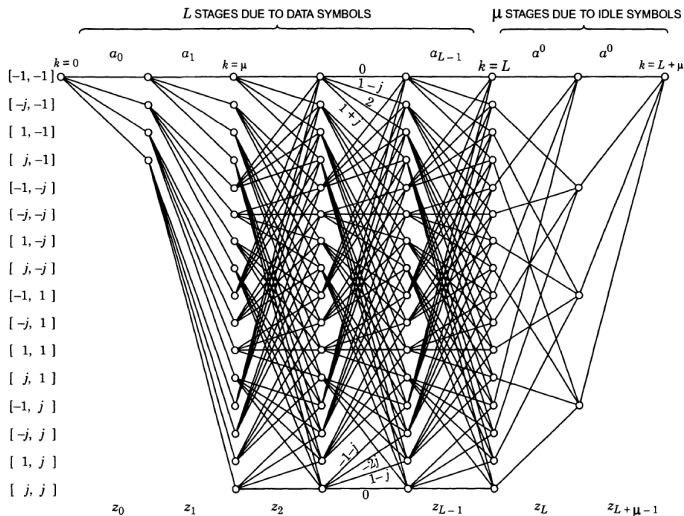


# Algoritmo de Viterbi

- O processo continua a cada tempo de símbolo.
- O número de caminhos na treliça é reduzido pela metade a cada estágio.
- Pode ser generalizado para modulação  $M$ -ária.
- A escolha do tamanho da sequência para realizar a decisão depende da memória (e.g., número de multi-percursos em canal rádio móvel).
- Supondo que a memória tem comprimento  $L_m$ , uma implementação prática do algoritmo geralmente considera sequências de tamanho  $L = 5L_m$ .
- Desta forma é possível compensar o efeito da memória e evitar um atraso muito grande na entrega dos símbolos no receptor.

# Algoritmo de Viterbi

- Exemplo para 4-PSK, canal com memória de tamanho 2.

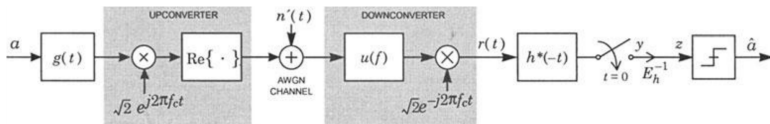


# Conteúdo

- 1 PAM em banda base
- 2 PAM em banda passante
- 3 Receptor de distância mínima
- 4 Detecção de sequência de distância mínima
- 5 Análise de Desempenho em canais AWGN**

# Probabilidade de erro de símbolo

- Análise de desempenho do PAM em banda passante na presença de ruído aditivo Gaussiano branco (AWGN).
- Considere um pulso PAM isolado (ou uma sequência de pulsos que satisfazem o critério de Nyquist).
- Cadeia de transmissão e recepção:



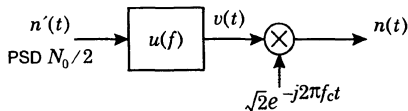
- Sinal recebido:

$$r(t) = ah(t) + n(t)$$

- Onde  $a \in \mathcal{A}$ ,  $h(t)$  é o pulso recebido e  $n(t)$  o ruído recebido.

# Probabilidade de erro de símbolo

- Caracterização estatística do ruído.
- Considere que  $n'(t)$  é o ruído antes da translação de frequência: real, Gaussiano, branco e com DEP  $N_0/2$ .



- Cálculo da DEP do ruído filtrado em  $v(t)$  e  $n(t)$ :

$$S_v(f) = (N_0/2)u(f) \quad \text{e} \quad S_n(f) = N_0u(f + f_c)$$

- Considerando um receptor com filtro casado a saída terá DEP igual a  $N_0|H(f)|^2$ .

# Probabilidade de erro de símbolo

- Considerando o filtro casado, o sinal recebido normalizado é dado por:

$$\begin{aligned}
 z &= \mathcal{E}_h^{-1} \int_{-\infty}^{\infty} r(t) h^*(t) dt = \mathcal{E}_h^{-1} \int_{-\infty}^{\infty} (ah(t) + n(t)) h^*(t) dt \\
 &= a \underbrace{\mathcal{E}_h^{-1} \int_{-\infty}^{\infty} h(t) h^*(t) dt}_{\mathcal{E}_h} + \underbrace{\mathcal{E}_h^{-1} \int_{-\infty}^{\infty} n(t) h^*(t) dt}_n = a + n
 \end{aligned}$$

- A variável complexa  $n$  possui distribuição  $\mathcal{CN}(0, N_0/\mathcal{E}_h)$
- Processo similar pode ser aplicado para o PAM em banda base.



# Probabilidade de erro de símbolo

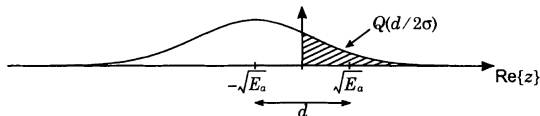
- Relação sinal-ruído:

$$\text{SNR} = \frac{\text{E}[|a|^2]}{\text{E}[|n|^2]} = \frac{\mathcal{E}_a}{N_0/\mathcal{E}_h} = \frac{\mathcal{E}_a \mathcal{E}_h}{N_0}$$

- Detecção:  $z$  é aplicado a um *slicer*, o qual escolher o símbolo  $a \in \mathcal{A}$  que minimiza  $|z - a|^2$ .
- Um **erro de símbolo** ocorre quando o *slicer* escolhe um símbolo diferente daquele que foi de fato transmitido.
- Vamos determinar a probabilidade de que o receptor de distância mínima cometa um erro de decisão em cenário AWGN.

# Probabilidade de erro de símbolo

- Exemplo de detecção do **BPSK**, para  $\mathcal{A} = \{\pm\sqrt{\mathcal{E}_a}\}$
- Supondo que o símbolo negativo foi transmitido, obtemos a PDF de  $z$ :



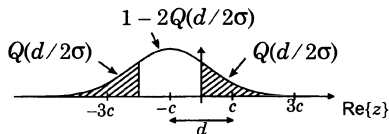
- Distribuição de  $z$ :  $\mathcal{N}(-\sqrt{\mathcal{E}_a}, \sigma^2)$
- Variância do ruído por dimensão:  $\sigma^2 = N_0/(2\mathcal{E}_h)$
- Distância entre símbolos:  $d = 2\sqrt{\mathcal{E}_a}$
- Probabilidade de erro de símbolo:

$$\Pr[\text{erro}] = Q(d/2\sigma) = Q(\sqrt{2\mathcal{E}/N_0})$$

- Neste caso a probabilidade de erro de símbolo é igual à de erro de bit.

## Probabilidade de erro de símbolo

- Exemplo de detecção do **4-PAM**, para  $\mathcal{A} = \{\pm c, \pm 3c\}$  e  $c = \sqrt{\mathcal{E}_a/5}$
- Supondo que o símbolo  $-c$  foi transmitido, obtemos a PDF de  $z$ :



- Cálculo da probabilidade de erro de símbolo:

$$\Pr[\text{erro}|a = \pm c] = 2Q(d/2\sigma)$$

$$\Pr[\text{erro}|a = \pm 3c] = Q(d/2\sigma)$$

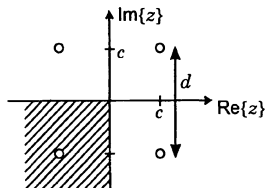
$$\Pr[\text{erro}] = \frac{3}{2}Q(d/2\sigma) = \frac{3}{2}Q\left(\sqrt{\frac{2}{5}}\mathcal{E}/N_0\right)$$

- De forma geral, para o **M-PAM** temos:

$$\Pr[\text{erro}] = \frac{2(M-1)}{M}Q\left(\sqrt{\frac{6}{(M^2-1)}}\mathcal{E}/N_0\right)$$

## Probabilidade de erro de símbolo

- Exemplo de detecção do **4-QAM**, para  $\mathcal{A} = \{\pm c \pm jc\}$  e  $c = \sqrt{\mathcal{E}_a/2}$
- Supondo que o símbolo  $-c - jc$  foi transmitido:



- Cálculo da probabilidade de erro de símbolo:

$$\Pr[\text{acerto} | a = -c - jc] = \Pr[\text{Re}\{z\} < 0, \text{Im}\{z\} < 0] = (1 - Q(d/2\sigma))^2$$

$$\Pr[\text{erro}] = 1 - \Pr[\text{acerto}] = 2Q(d/2\sigma) - Q^2(d/2\sigma) = 2Q(\sqrt{\mathcal{E}/N_0}) - Q^2(\sqrt{\mathcal{E}/N_0})$$

$$\text{Aproximação para altos valores de SNR: } \Pr[\text{erro}] \approx 2Q(\sqrt{\mathcal{E}/N_0})$$

- O **4-PSK**, para  $\mathcal{A} = \{\pm b, \pm jb\}$  e  $b = \sqrt{\mathcal{E}_a}$ , corresponde a uma rotação de  $45^\circ$  do 4-QAM, possuindo o mesmo desempenho.

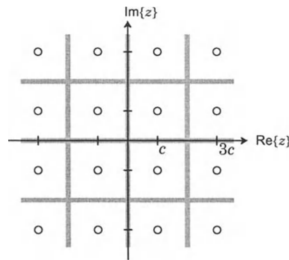
# Probabilidade de erro de símbolo

- Exemplo de detecção do **16-QAM**, para:

$$\mathcal{A} = \{\pm c \pm jc, \pm c \pm j3c, \pm 3c \pm jc, \pm 3c \pm j3c\}$$

$$c = \sqrt{\mathcal{E}_a/10}$$

- Definição de regiões: interna, canto, borda.



- Cálculo da probabilidade de erro de símbolo:

$$\Pr[\text{acerto} | a \text{ interno}] = [1 - 2Q(d/2\sigma)]^2$$

$$\Rightarrow \Pr[\text{erro} | a \text{ interno}] \approx 4Q(d/2\sigma)$$

$$\Pr[\text{acerto} | a \text{ canto}] = [1 - Q(d/2\sigma)]^2$$

$$\Rightarrow \Pr[\text{erro} | a \text{ canto}] \approx 2Q(d/2\sigma)$$

$$\Pr[\text{acerto} | a \text{ borda}] = [1 - 2Q(d/2\sigma)][1 - Q(d/2\sigma)]$$

$$\Rightarrow \Pr[\text{erro} | a \text{ borda}] \approx 3Q(d/2\sigma)$$

$$\Pr[\text{erro}] \approx \frac{4}{16}4Q(d/2\sigma) + \frac{8}{16}3Q(d/2\sigma) + \frac{4}{16}2Q(d/2\sigma) = 3Q(d/2\sigma) = 3Q\left(\sqrt{\frac{\mathcal{E}}{5N_0}}\right)$$

## Probabilidade de erro de símbolo

- É possível derivar a expressão **exata** da probabilidade de erro de símbolo para constelações  **$M$ -QAM** quadradas, nas quais  $M = 2^b$  para  $b$  par.
- Probabilidade de erro de símbolo do  **$\sqrt{M}$ -PAM**, com metade da potência alocada em cada dimensão:

$$\Pr[\text{erro}]_{\sqrt{M}} = 2 \left( 1 - \frac{1}{\sqrt{M}} \right) Q \left( \sqrt{\frac{3\mathcal{E}/N_0}{M-1}} \right)$$

- Probabilidade de erro de símbolo do  **$M$ -QAM**:

$$\begin{aligned} \Pr[\text{erro}]_M &= 1 - (1 - \Pr[\text{erro}]_{\sqrt{M}})^2 \\ &= 4 \left( 1 - \frac{1}{\sqrt{M}} \right) Q \left( \sqrt{\frac{3\mathcal{E}/N_0}{M-1}} \right) - 4 \left( 1 - \frac{1}{\sqrt{M}} \right)^2 Q^2 \left( \sqrt{\frac{3\mathcal{E}/N_0}{M-1}} \right) \\ &\approx 4 \left( 1 - \frac{1}{\sqrt{M}} \right) Q \left( \sqrt{\frac{3\mathcal{E}/N_0}{M-1}} \right) \quad (\text{para altos valores de SNR}) \end{aligned}$$

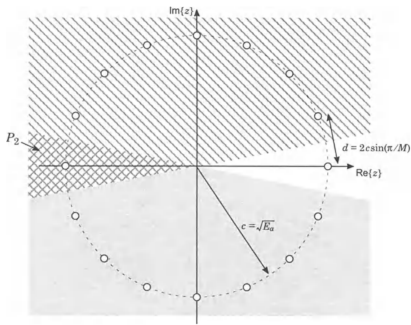
## Probabilidade de erro de símbolo

- Exemplo de detecção do  $M$ -PSK, para  $\mathcal{A} = \{c, ce^{j2\pi/M}, ce^{j4\pi/M}, \dots, ce^{j2\pi(M-1)/M}\}$ .
- Região de decisão do símbolo  $c$  entre  $-\pi/M$  e  $\pi/M$ .
- Expressão fechada não pode ser encontrada.
- Cálculo da probabilidade de erro de símbolo:

$$P_1 = \Pr[\text{Im}\{n'\} > d/2] = Q(d/2\sigma)$$

$$n' = ne^{-j\pi/M}$$

$$\Pr[\text{erro}] = 2P_1 - P_2 \approx 2Q(d/2\sigma) \approx 2Q\left(\sqrt{2\mathcal{E}/N_0} \sin \frac{\pi}{M}\right)$$



## Requisitos de banda e SNR do PAM em banda passante

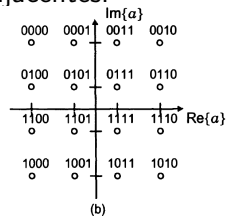
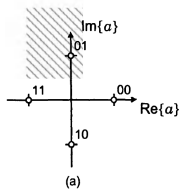
- Probabilidade de erro de símbolo foi calculada como função da SNR =  $\mathcal{E}/N_0$  para diferentes esquemas de modulação.
- Para permitir a comparação entre esquemas de diferente ordens, é necessário normalizar a energia por bit:

$$\mathcal{E}_b = \mathcal{E} / \log_2 |\mathcal{A}| = \mathcal{E} / b$$

- Razão entre a energia por bit e o ruído:  $\mathcal{E}_b/N_0$
- Mapeamento *Gray* reduz a diferença entre símbolos adjacentes.

- Aproximação:

$$\text{Pr}[\text{erro de bit}] \approx \frac{1}{b} \text{Pr}[\text{erro de símbolo}]$$





# Requisitos de banda e SNR do PAM em banda passante

- Expressões de probabilidade de erro de bit:

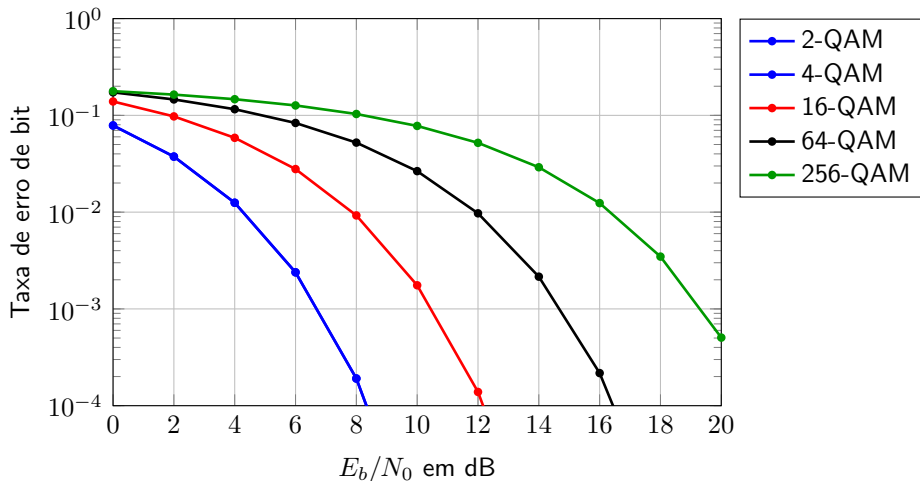
$$P_b^{\text{BPSK}} = Q(\sqrt{2\mathcal{E}_b/N_0})$$

$$P_b^{M\text{-QAM}} \approx \frac{4}{b}(1 - 2^{-b/2})Q\left(\sqrt{\frac{3b\mathcal{E}_b/N_0}{2^b - 1}}\right)$$

$$P_b^{M\text{-PSK}} \approx \frac{2}{b}Q\left(\sqrt{2b\mathcal{E}_b/N_0} \sin \frac{\pi}{M}\right)$$

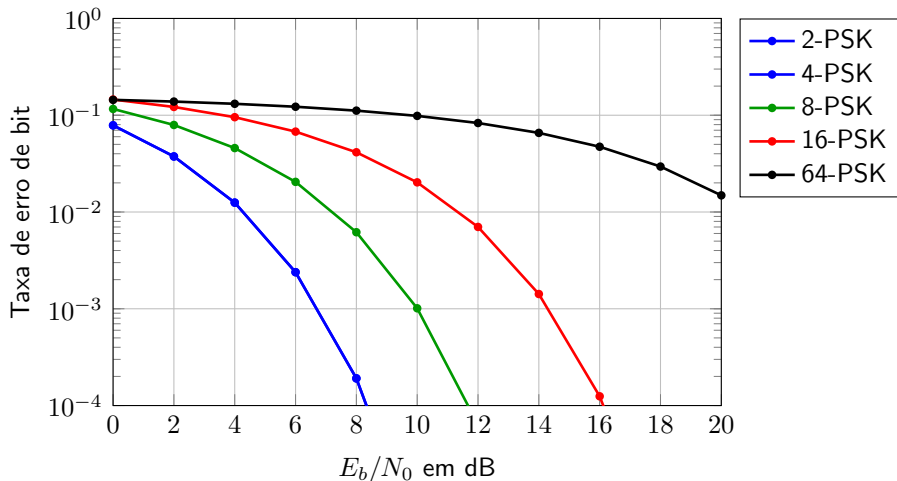
# Probabilidade de erro de símbolo

- Desempenho dos esquemas de modulação (QAM):



# Probabilidade de erro de símbolo

- Desempenho dos esquemas de modulação (PSK):



# Requisitos de banda e SNR do PAM em banda passante

- A SNR por bit necessária para alcançar um determinado valor de probabilidade de erro de bit pode ser encontrada ao reorganizar as equações anteriores:

$$(\text{QAM}) : \mathcal{E}_b/N_0 = \underbrace{\frac{1}{3} \left( Q^{-1} \left( \frac{bP_b}{4(1 - 2^{-b/2})} \right) \right)^2}_{\Gamma \text{ (SNR gap)}} \underbrace{\left( \frac{2^b - 1}{b} \right)}_{\text{Lim. de Shannon}}$$

$$(\text{PSK}) : \mathcal{E}_b/N_0 = \frac{(Q^{-1}(bP_b/2))^2}{2b \sin^2 \frac{\pi}{M}}$$

- Essas expressões quantificam os requisitos de potência, mas não de banda.

# Requisitos de banda e SNR do PAM em banda passante

- Para o PAM em banda passante, considerando zero de banda de excesso, o requisito de banda é igual à taxa de símbolo.
- Requisito de banda normalizada:  $1/b$
- Comparação entre os esquemas de modulação ( $P_b = 10^{-6}$ ):

